



Sistematización morfo-funcional del complejo motor facial del perro. Análisis de las neuronas de origen de los ramos periféricos del nervio facial, identificadas por transporte axónico retrógrado de peroxidasa.

Alberto Prats Galino

ADVERTIMENT. La consulta d'aquesta tesi queda condicionada a l'acceptació de les següents condicions d'ús: La difusió d'aquesta tesi per mitjà del servei TDX (www.tdx.cat) ha estat autoritzada pels titulars dels drets de propietat intel·lectual únicament per a usos privats emmarcats en activitats d'investigació i docència. No s'autoritza la seva reproducció amb finalitats de lucre ni la seva difusió i posada a disposició des d'un lloc aliè al servei TDX. No s'autoritza la presentació del seu contingut en una finestra o marc aliè a TDX (framing). Aquesta reserva de drets afecta tant al resum de presentació de la tesi com als seus continguts. En la utilització o cita de parts de la tesi és obligat indicar el nom de la persona autora.

ADVERTENCIA. La consulta de esta tesis queda condicionada a la aceptación de las siguientes condiciones de uso: La difusión de esta tesis por medio del servicio TDR (www.tdx.cat) ha sido autorizada por los titulares de los derechos de propiedad intelectual únicamente para usos privados enmarcados en actividades de investigación y docencia. No se autoriza su reproducción con finalidades de lucro ni su difusión y puesta a disposición desde un sitio ajeno al servicio TDR. No se autoriza la presentación de su contenido en una ventana o marco ajeno a TDR (framing). Esta reserva de derechos afecta tanto al resumen de presentación de la tesis como a sus contenidos. En la utilización o cita de partes de la tesis es obligado indicar el nombre de la persona autora.

WARNING. On having consulted this thesis you're accepting the following use conditions: Spreading this thesis by the TDX (www.tdx.cat) service has been authorized by the titular of the intellectual property rights only for private uses placed in investigation and teaching activities. Reproduction with lucrative aims is not authorized neither its spreading and availability from a site foreign to the TDX service. Introducing its content in a window or frame foreign to the TDX service is not authorized (framing). This rights affect to the presentation summary of the thesis as well as to its contents. In the using or citation of parts of the thesis it's obliged to indicate the name of the author.

UNIVERSIDAD DE BARCELONA

FACULTAD DE MEDICINA

'SISTEMATIZACION MORFO-FUNCIONAL DEL COMPLEJO MOTOR
FACIAL DEL PERRO. ANALISIS DE LAS NEURONAS DE ORIGEN
DE LOS RAMOS PERIFERICOS DEL NERVIO FACIAL, IDENTI-
FICADAS POR TRANSPORTE AXONICO RETROGRADO DE PERO-
XIDASA'.

Tesis Doctoral presentada para
aspirar al Grado de Doctor

Alberto PRATS GALINO

Barcelona, 1987

ICONOGRAFIA

I. - ESTUDIO HISTO-TOPOGRAFICO
DEL NUCLEO Y DEL TRAYECTO
INTRAENCEFALICO DEL
NERVIO FACIAL.

Fig. 1.- Corte transversal a través de la región craneal del bulbo raquídeo, que muestra la disposición ventrolateral del núcleo facial y las relaciones topográficas que mantiene con estructuras troncoencefálicas adyacentes. Violeta de cresil. (x20).

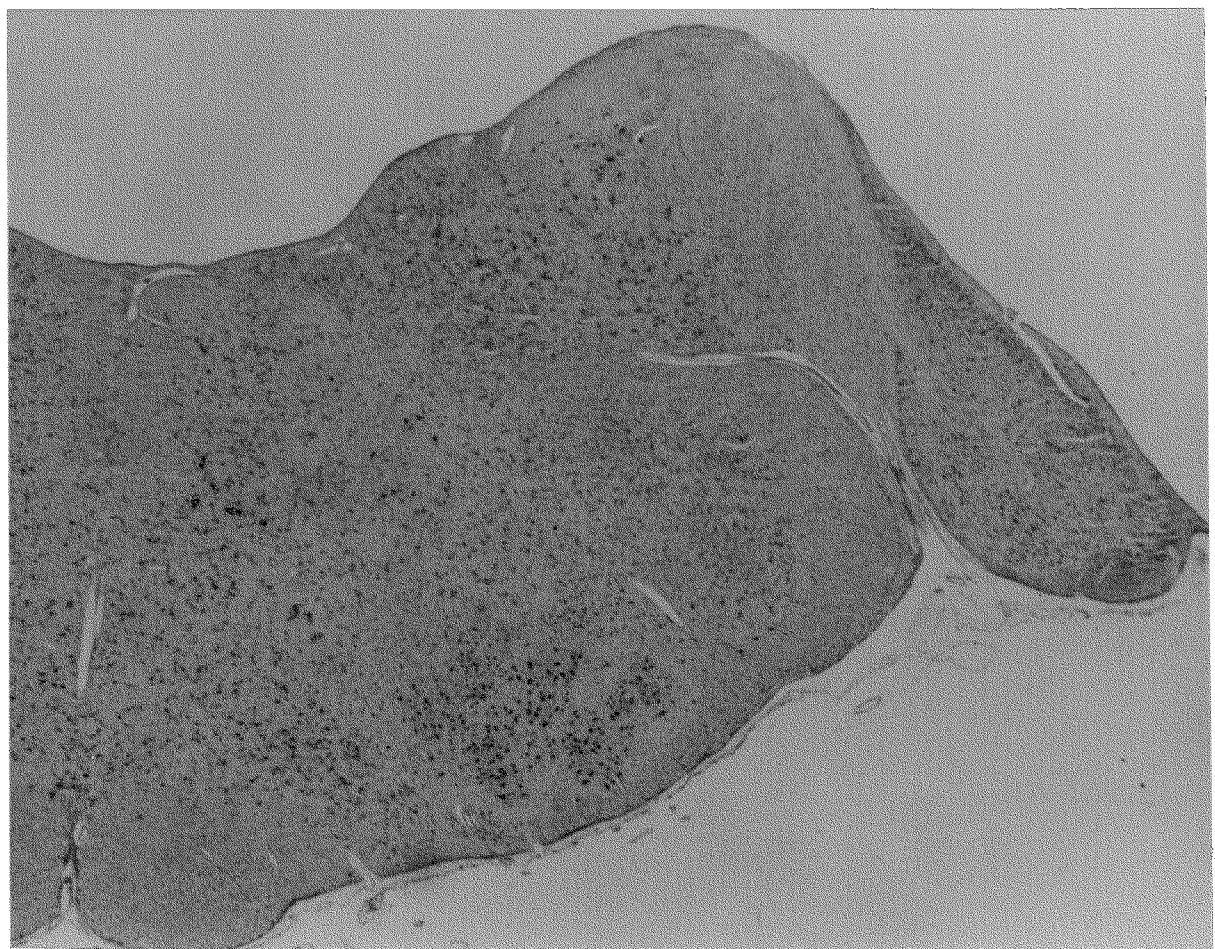


Fig. 1

Fig. 2.- Composición fascicular de la raíz ascendente del nervio facial. Método de Klüver-Barrera. (x40).

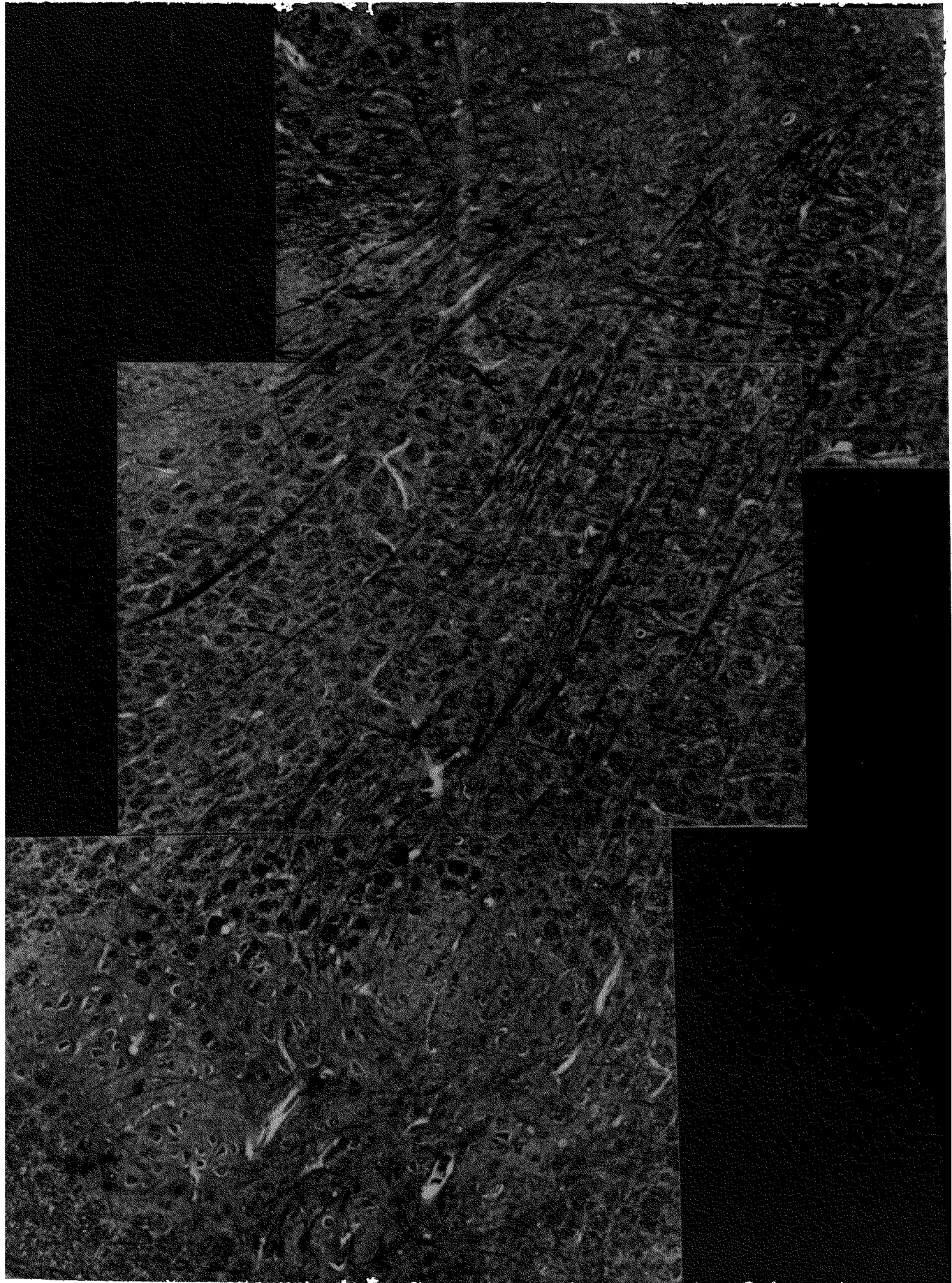


Fig. 2

Fig. 3.- Posición subventricular de la rodilla del nervio facial. Relaciones ventrales con el núcleo del nervio motor ocular externo y con fibras del pedúnculo olivar, en un corte transversal efectuado a nivel de la región del cuerpo trapezoides. Método de Klüver-Barrera. (x32).



Fig. 3

Fig. 4. - Detalles de la configuración de la rodilla del nervio facial. Método de Klüver-Barrera.

Fig 4.1. - Relaciones de la rodilla con el - núcleo del nervio motor ocular externo. - (x40).

Fig 4.2. - Punto de emergencia de la raíz - descendente del nervio facial en los niveles más craneales de la rodilla. (x80).

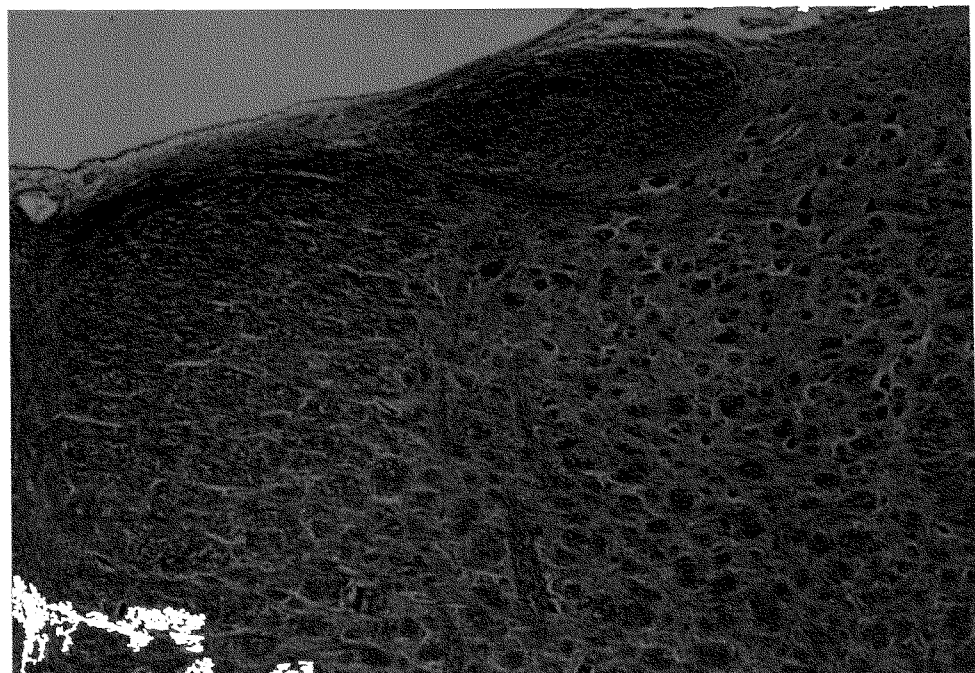


Fig. 4.1

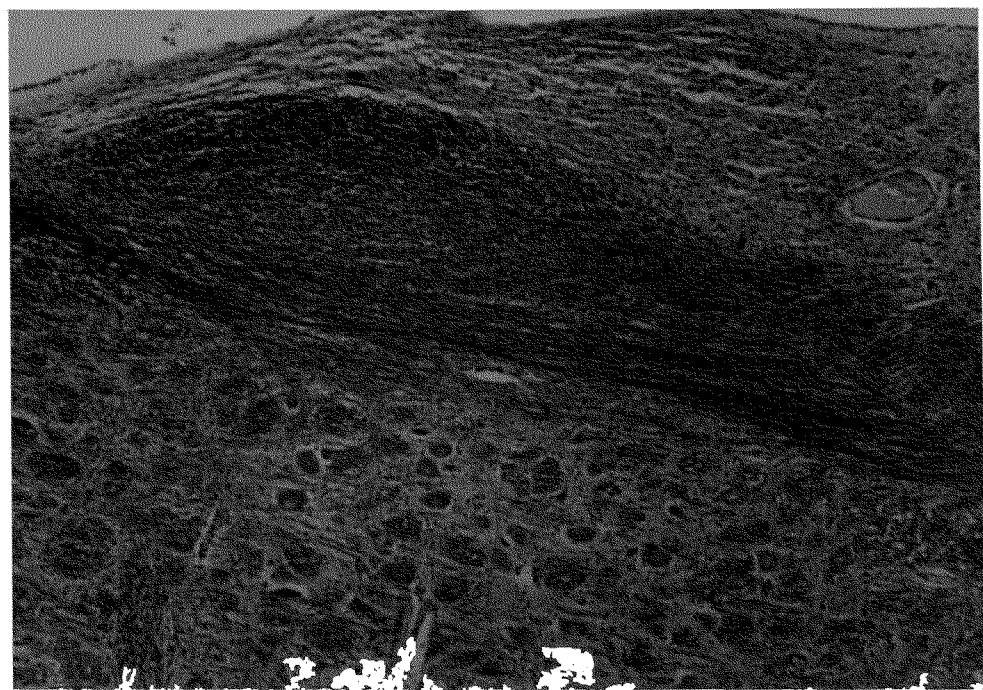


Fig. 4.2

Fig. 5.- Trayecto ventrolateral de la raíz descendente del nervio facial, constituida en esta preparación por dos fascículos compactos, en su curso medial al núcleo espinal del nervio trigémino y lateral al complejo olivar protuberancial. Método de Klüver-Barrera. (x32).

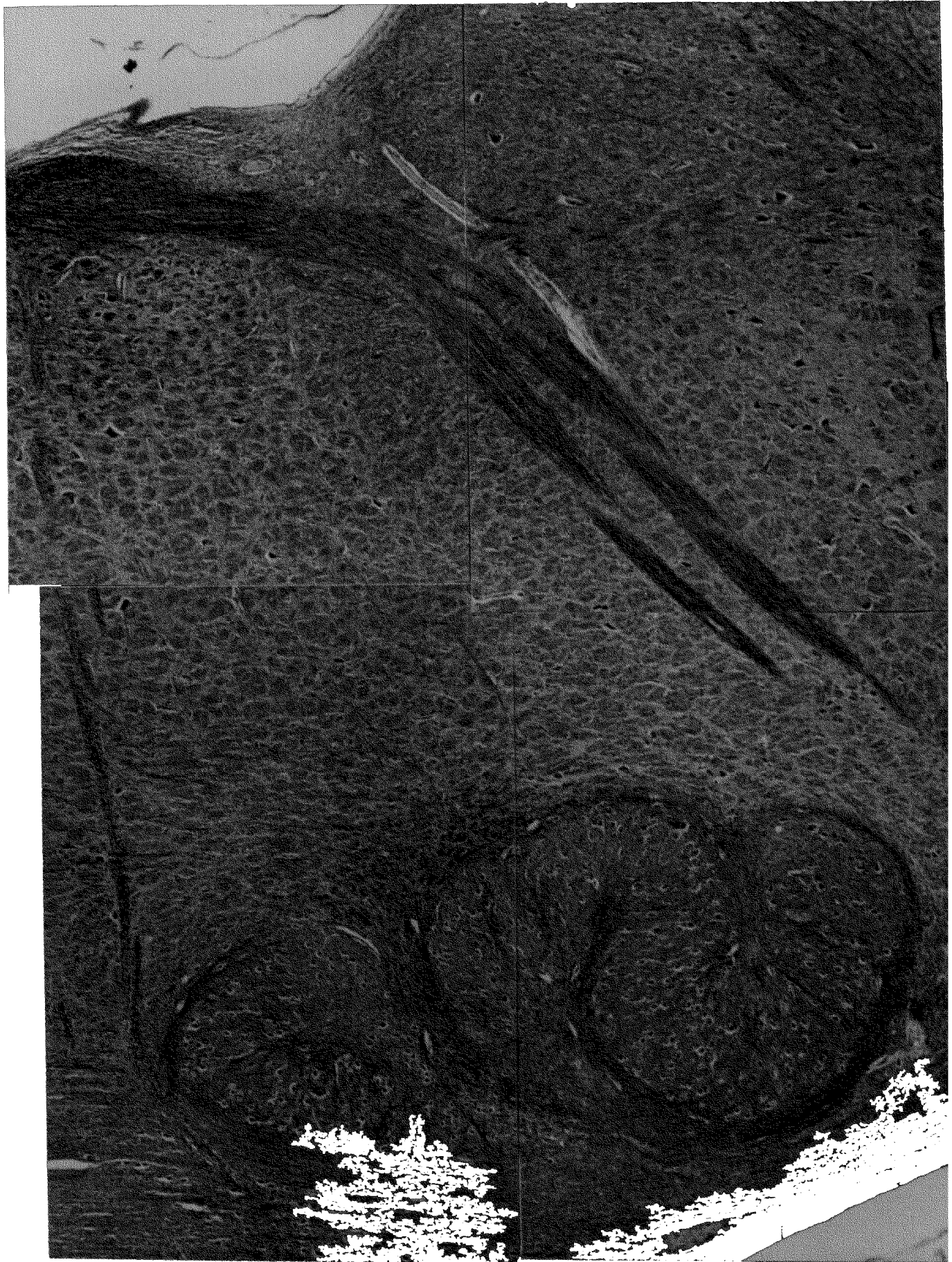


Fig. 5

II. - ESTUDIO
CITOARQUITECTONICO,
CITOLOGICO Y
RECONSTRUCTIVO
DEL NUCLEO FACIAL.

Fig. 7.- Agrupación de las células del núcleo motor facial en seis subnúcleos principales: ventrolateral (VL), dorsolateral (DL), intermedio (I), ventromedial (VM), intermedio-medial (IM), y dorsomedial (DM).

Fig. 7.1.- Corte transversal efectuado a nivel medio del núcleo motor facial. Violeta de cresil. (x40).

Fig. 7.2.- Representación esquemática de las seis subnúcleos que lo constituyen.

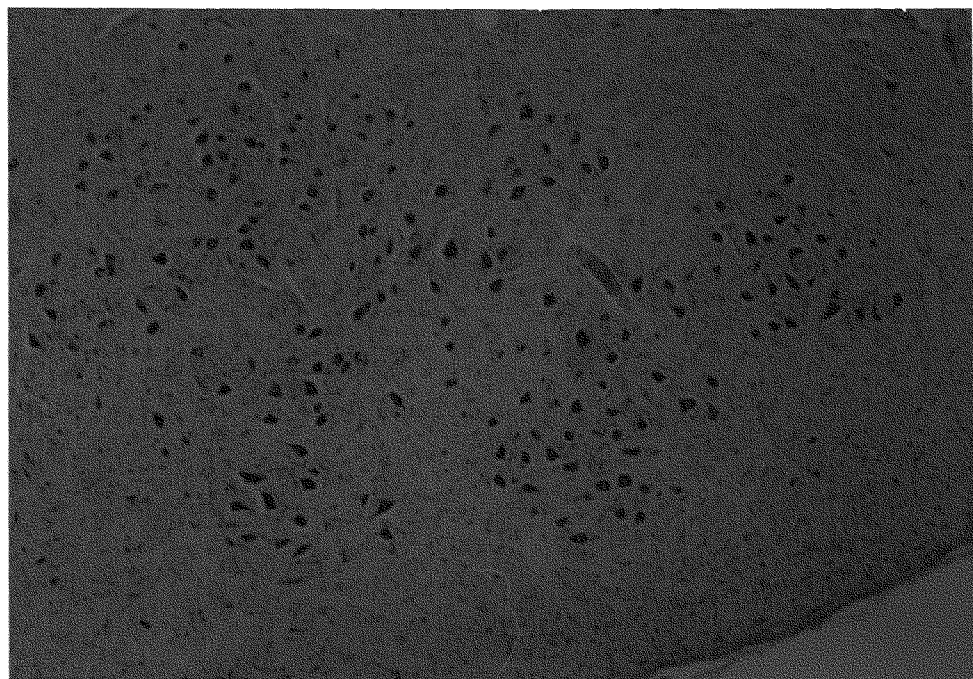


Fig. 7.1

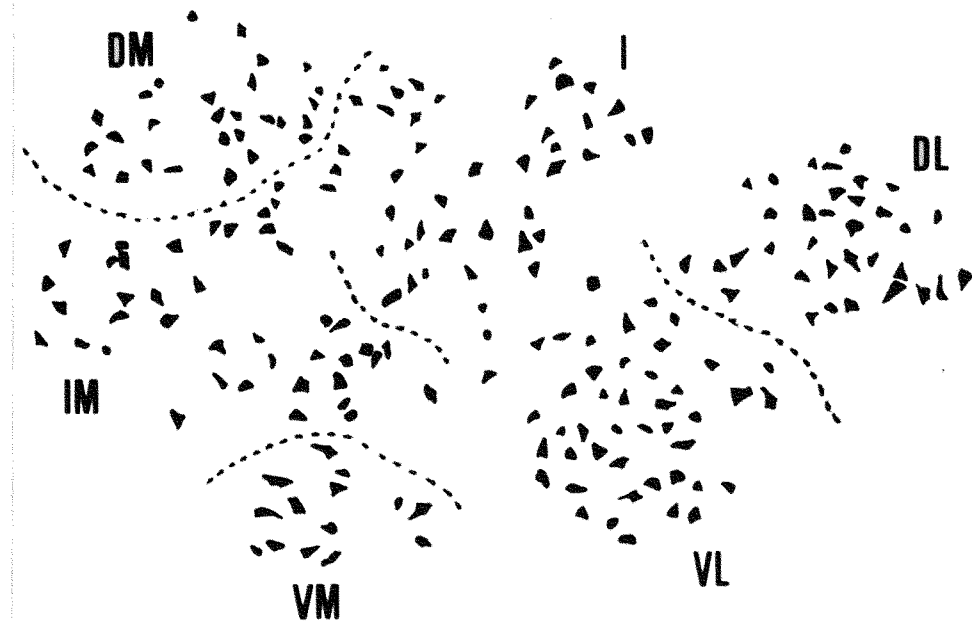


Fig. 7.2

Fig. 8.- Células del subnúcleo ventrolateral. Tionina.

Fig 8.1.- Células de mediano tamaño. (x300).

Fig 8.2.- Detalle. (x400).

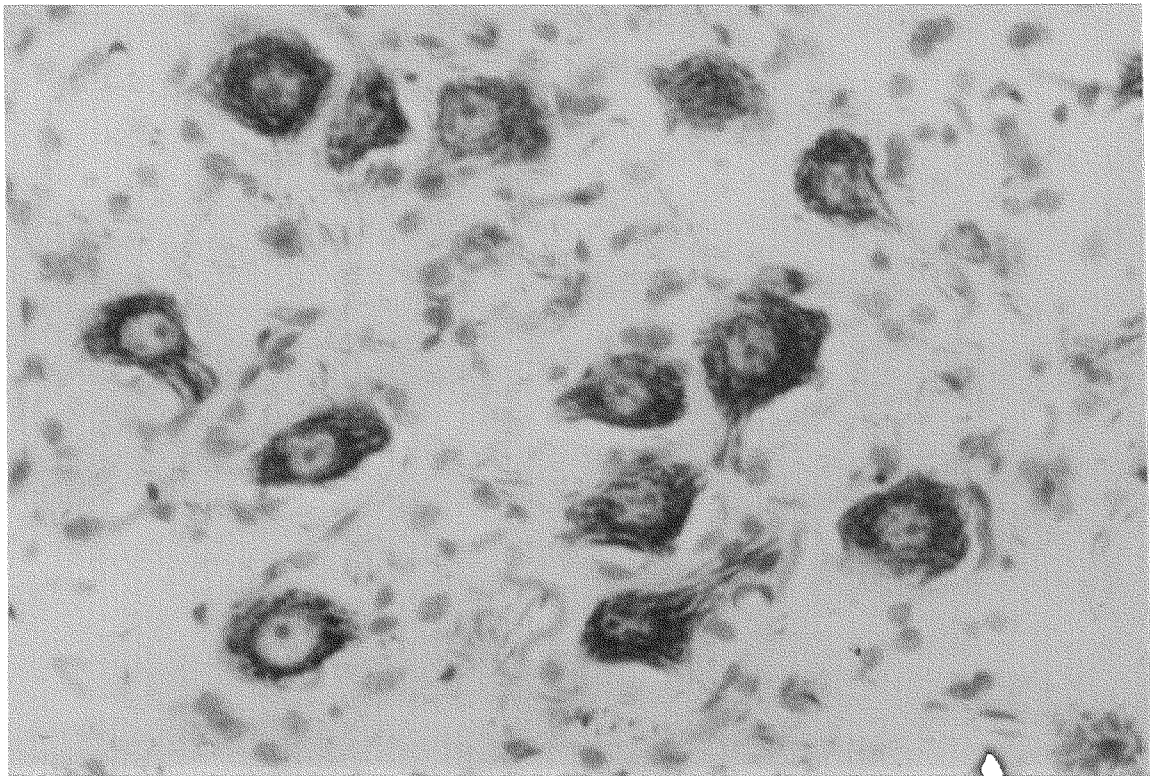


Fig. 8.1

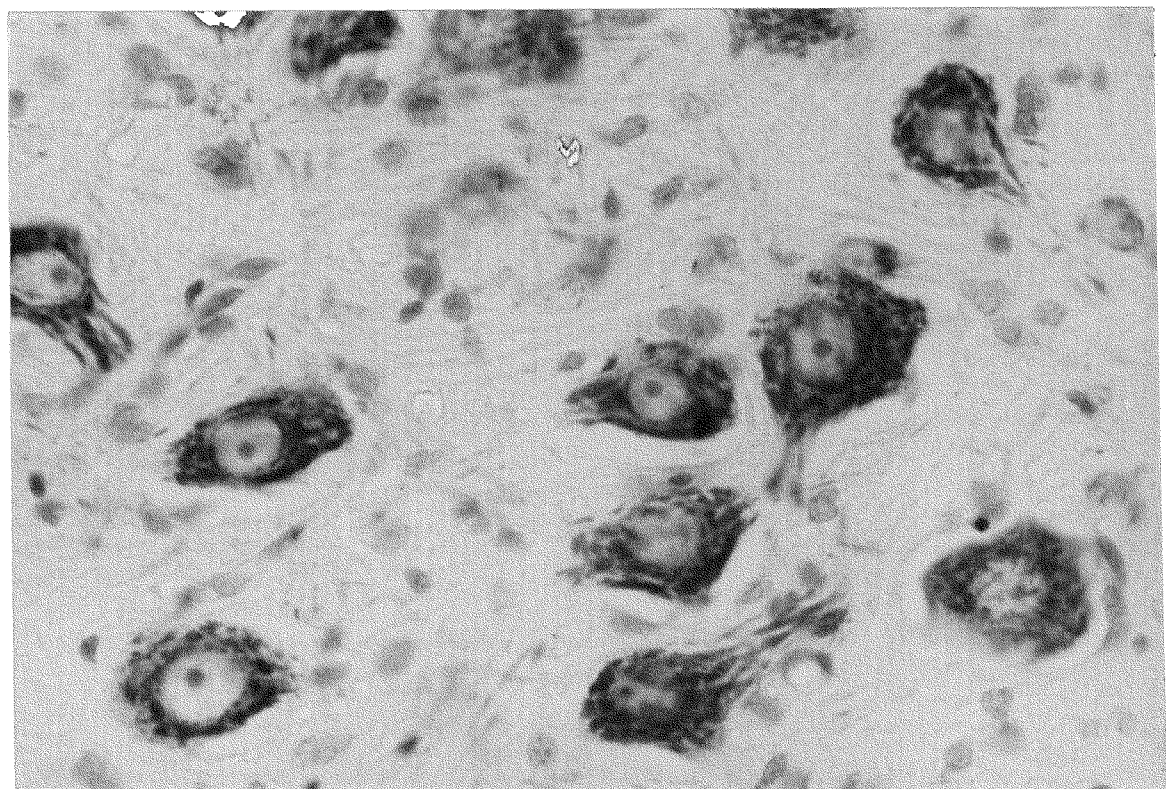


Fig. 8.2

Fig. 9.- Células del subnúcleo dorsolateral. Tionina.

Fig 9.1.- Células de mediano tamaño. (x300).

Fig 9.2.- Detalle. (x400).

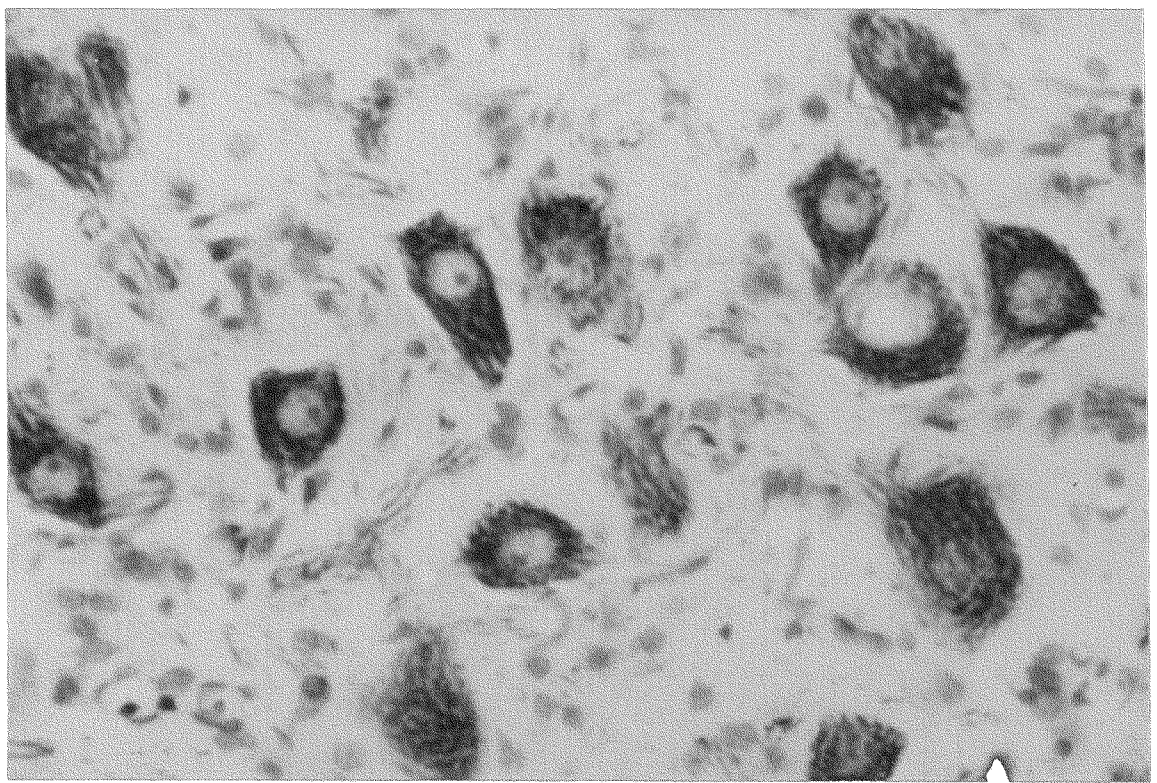


Fig. 9.1

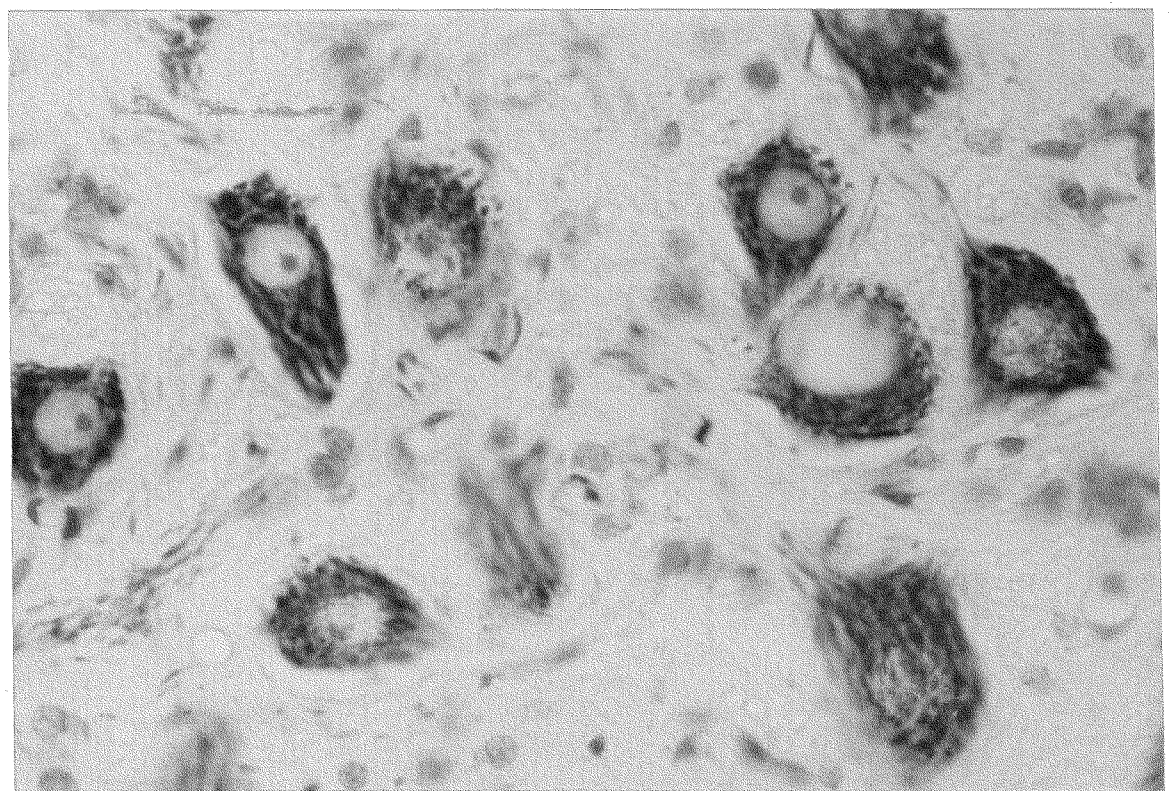


Fig. 9.2